

# Binarias de rayos X

Juan Fabregat

Observatorio Astronómico de la Universidad de Valencia

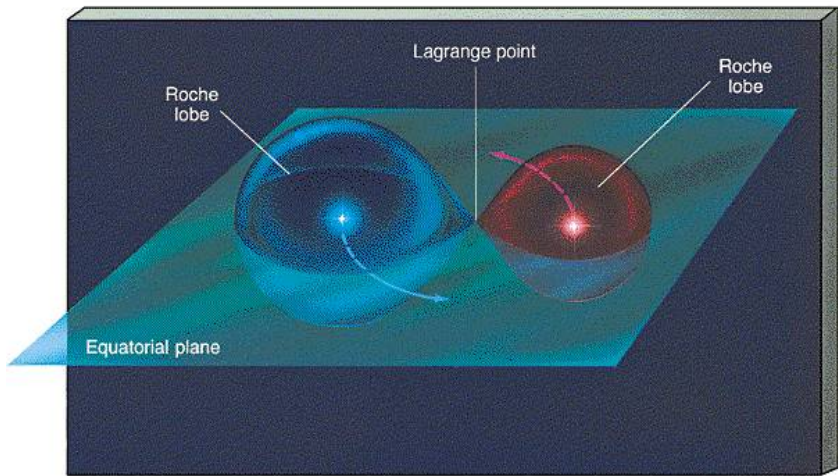
# La potencia del acrecimiento

- Energía generada:

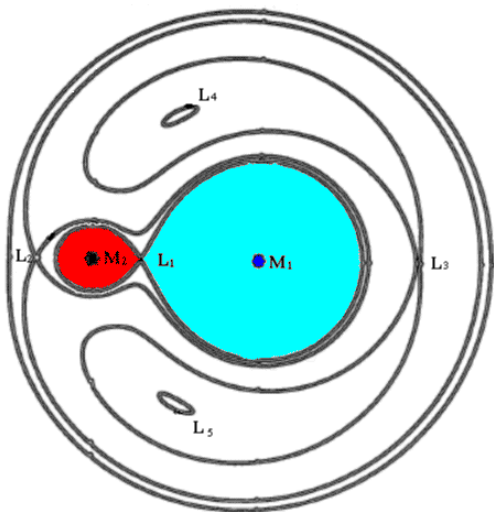
$$\Delta E_{ac} = \frac{GMm}{R}$$

- En el caso de una estrella de neutrones:
  - $R \sim 10Km$
  - $M \sim M_{\odot}$
  - $\Delta E_{ac} = 10^{20} \text{ erg } g^{-1}$
- Energía de fusión nuclear:  
 $\Delta E_{fusion} \sim 0.007mc^2 \sim 6 \times 10^{18} \text{ erg } g^{-1}$

# Lóbulos de Roche



# Lóbulos de Roche

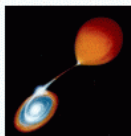




## Cataclysmic Variables

"Non-Magnetic"

**B < 0.1-1 MG:**  
Novalike Variables  
Dwarf Novae



————— Magnetic —————

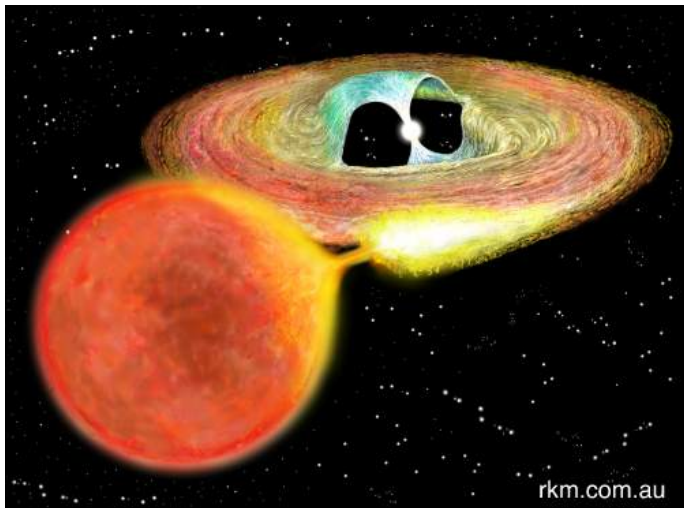
**B ~ 1-10 MG:**  
Intermediate Polars  
(DQ Her stars)

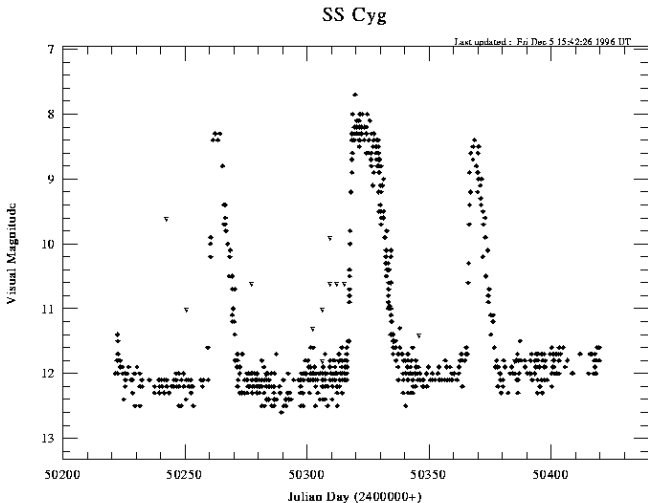


**B ~ 10-100 MG:**  
Polars  
(AM Her stars)

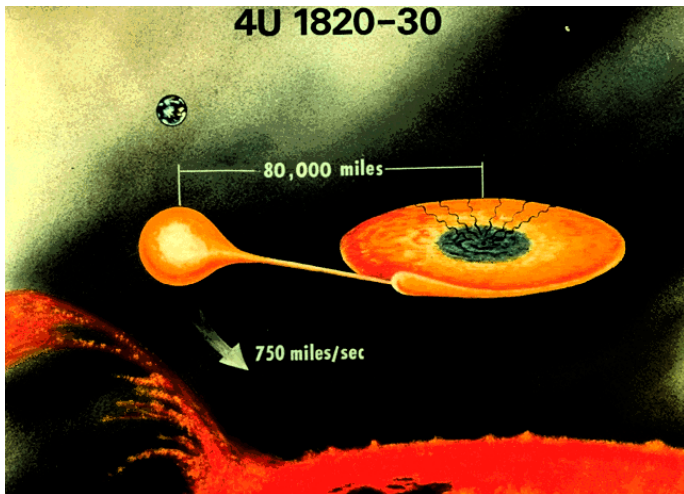


# Polar intermedia

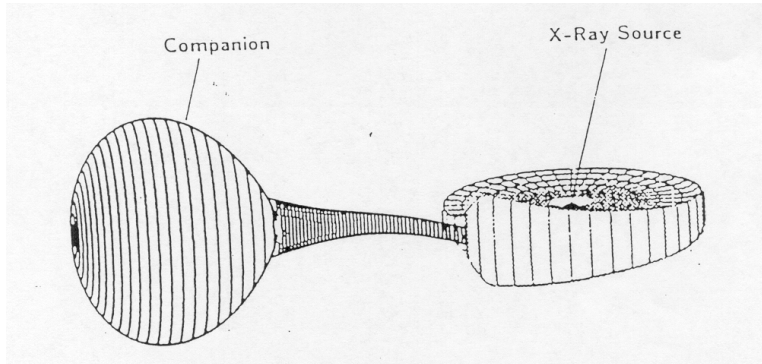




# Binarias de rayos X de baja masa



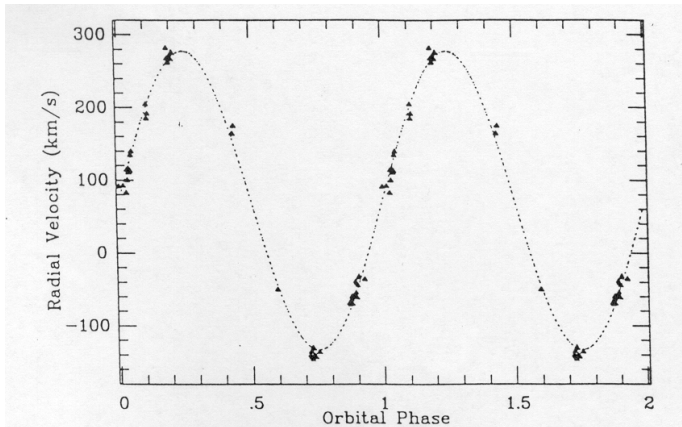
# Binarias de rayos X de baja masa



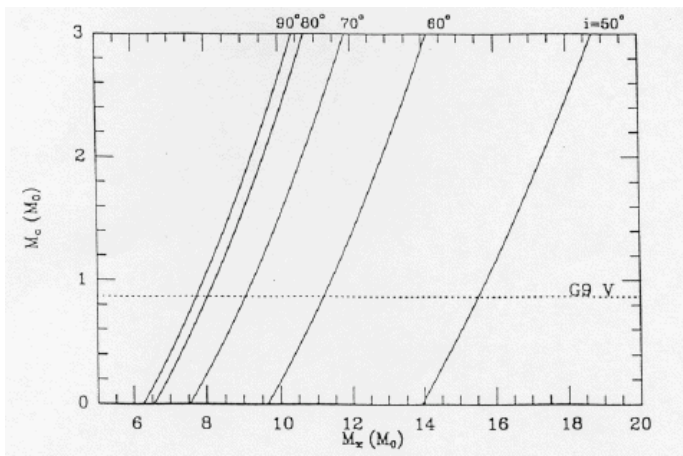
# La función de masa

- $K_1 = v_1 \sin i = \frac{2\pi a_1 \sin i}{P}$
- $K_2 = v_2 \sin i = \frac{2\pi a_2 \sin i}{P}$
  
- $\frac{m_2^3 \sin^3 i}{(m_1 + m_2)^2} = \frac{K_1^3 P}{2\pi G} = f(m_2)$
- $\frac{m_1^3 \sin^3 i}{(m_1 + m_2)^2} = \frac{K_2^3 P}{2\pi G} = f(m_1)$

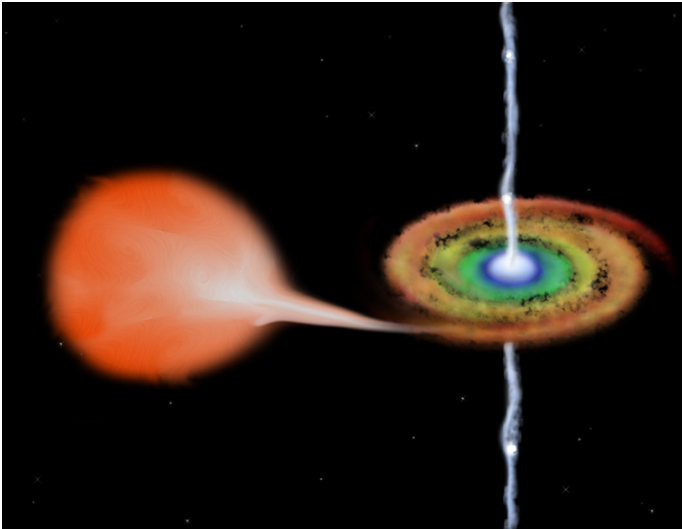
# V404 Cygni



# V404 Cygni



# Agujero negro en binaria



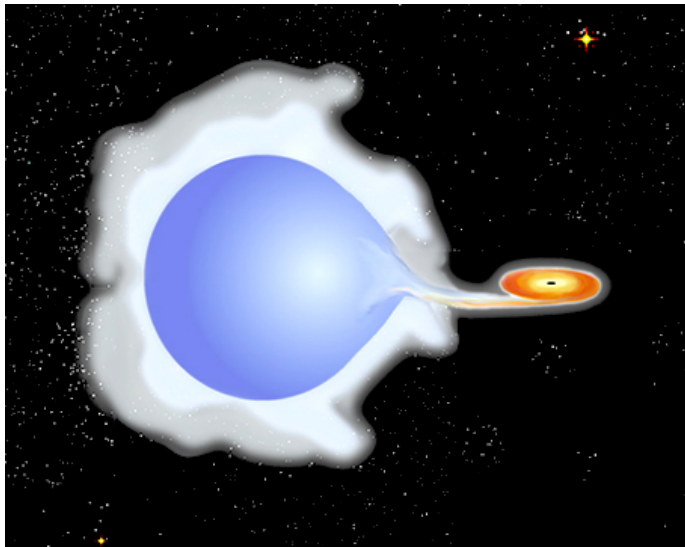
# Agujeros negros en binarias

## Black Hole Candidates in Binary Star Systems

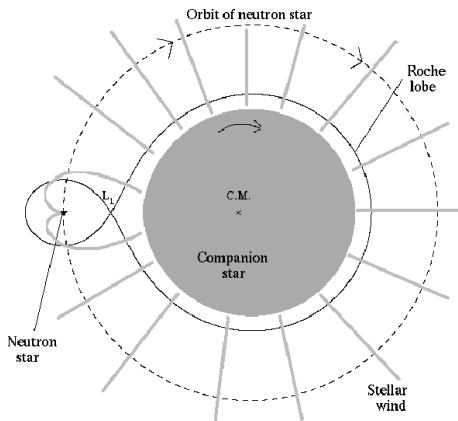
Name of Binary System	Companion Star Spectral Type	Orbital Period (days)	Black Hole Mass (Solar Units)
Cygnus X-1	B supergiant	5.6	6-15
LMC X-3	B main sequence	1.7	4-11
A0620-00 (V616 Mon)	K main sequence	7.8	4-9
GS2023+338 (V404 Cyg)	K main sequence	6.5	> 6
GS2000+25 (QZ Vul)	K main sequence	0.35	5-14
GS1124-683 (Nova Mus 1991)	K main sequence	0.43	4-6
GRO J1655-40 (Nova Sco 1994)	F main sequence	2.4	4-5
H1705-250 (Nova Oph 1977)	K main sequence	0.52	> 4

SOURCE: Fraknoi, Morrison, & Wolff, *Voyages through the Universe*

# Binarias de rayos X de gran masa (HMXRB)



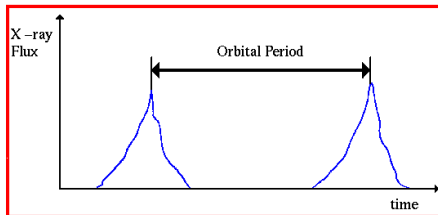
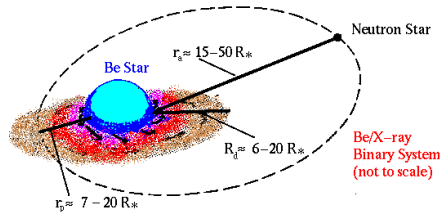
# Binarias de rayos X supergigantes (SGXRBs)

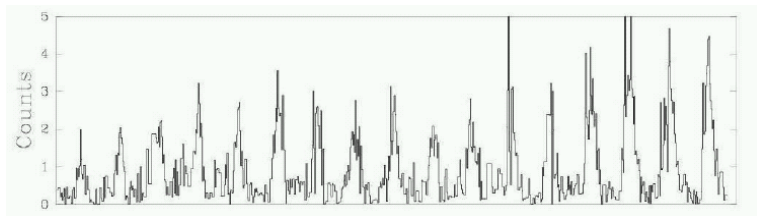


# Binarias de rayos X Be (Be/XRBs)

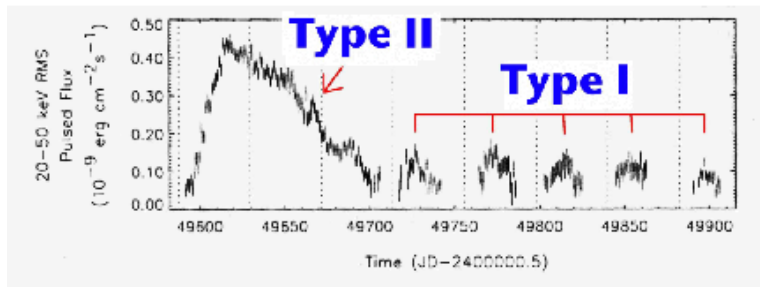


# Binarias de rayos X Be (Be/XRBs)

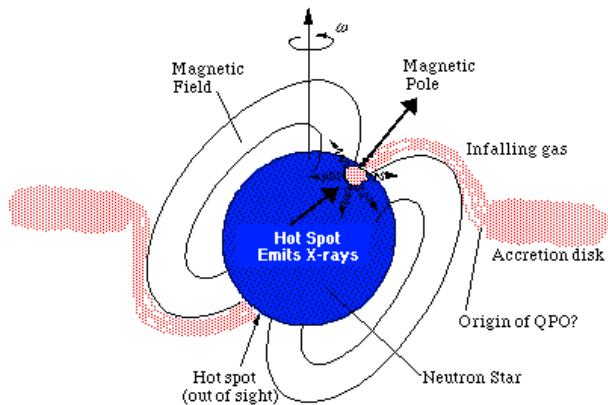




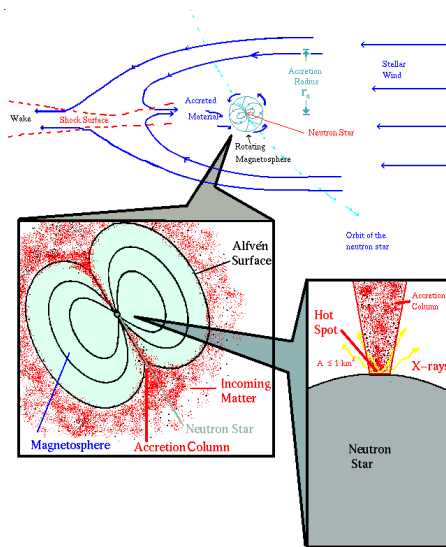
# Binarias de rayos X Be (Be/XRBs)



# Pulsar de rayos X



# Pulsar de rayos X



# Régimen de crecimiento

- Radio de la magnetosfera:

$$\frac{B(r_m)^2}{8\pi} = \rho(r_m)v(r_m)^2$$

- Radio de corrotación:

$$r_c = \left( \frac{GMP_s^2}{4\pi^2} \right)^{\frac{1}{3}}$$

- Si  $r_c > r_m \rightarrow$  crecimiento
- Si  $r_c < r_m \rightarrow$  eyección

# Régimen de crecimiento

- Radio de la magnetosfera:

$$\frac{B(r_m)^2}{8\pi} = \rho(r_m)v(r_m)^2$$

- Radio de corrotación:

$$r_c = \left( \frac{GMP_s^2}{4\pi^2} \right)^{\frac{1}{3}}$$

- Si  $r_c > r_m \rightarrow$  crecimiento
- Si  $r_c < r_m \rightarrow$  eyección

# Régimen de crecimiento

- Radio de la magnetosfera:

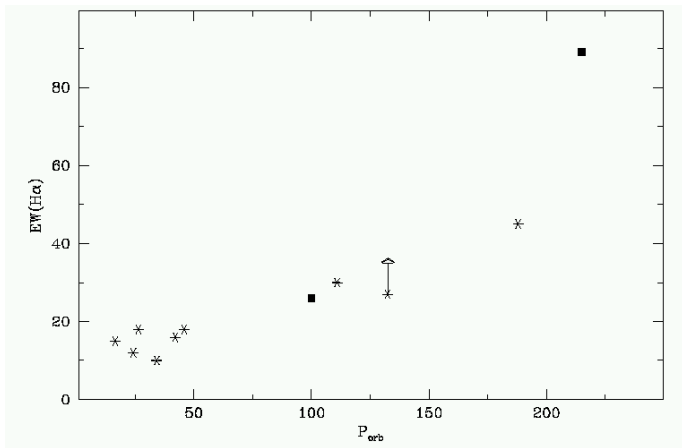
$$\frac{B(r_m)^2}{8\pi} = \rho(r_m)v(r_m)^2$$

- Radio de corrotación:

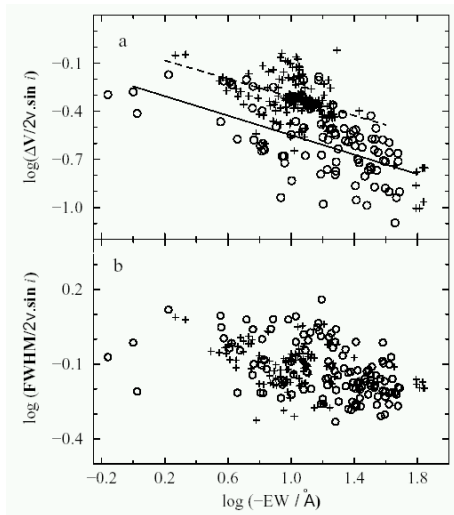
$$r_c = \left( \frac{GMP_s^2}{4\pi^2} \right)^{\frac{1}{3}}$$

- Si  $r_c > r_m \rightarrow$  acrecimiento
- Si  $r_c < r_m \rightarrow$  eyección

# Binarias de rayos X Be (Be/XRBs)

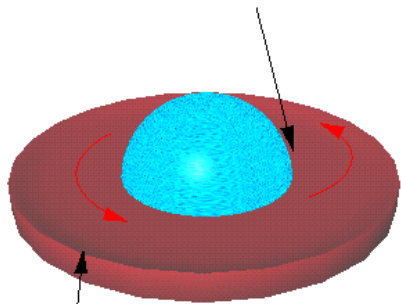


# Binarias de rayos X Be (Be/XRBs)



# Disco de decremento viscoso

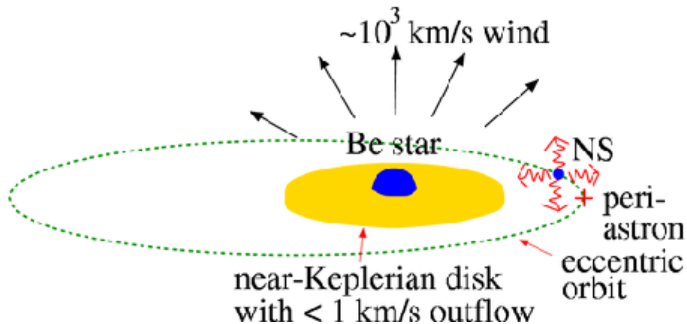
Angular momentum is supplied by the  
star to the disc



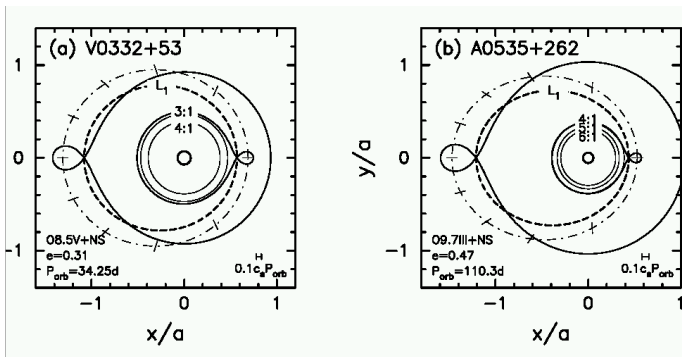
The disc rotates at Keplerian speeds

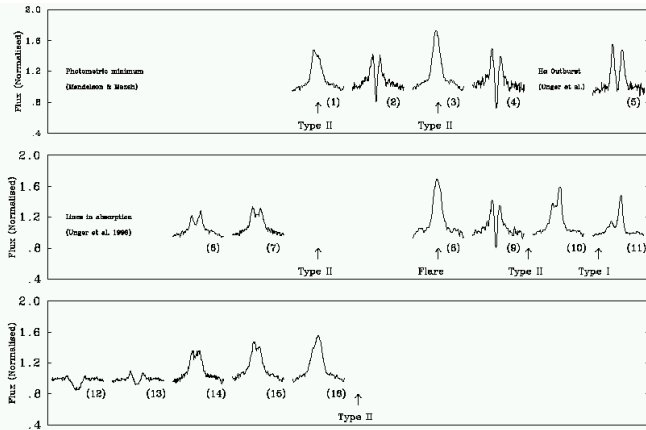
$$v(\text{rot}) \sim r^{-1/2}$$

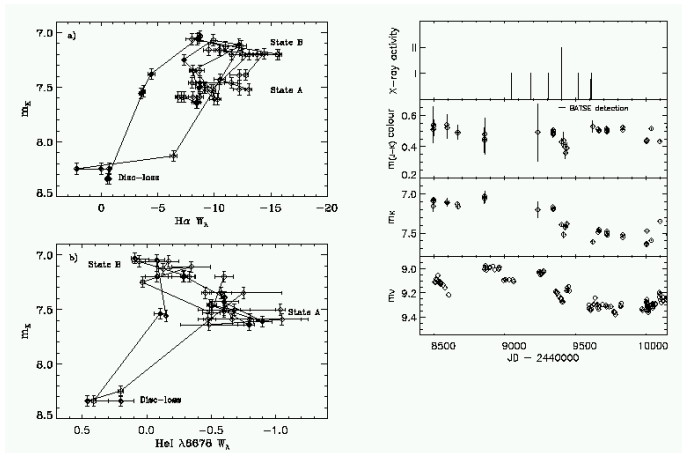
# Truncación del disco



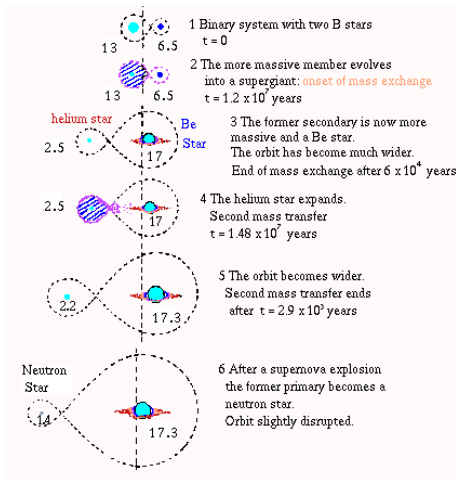
# Truncación del disco



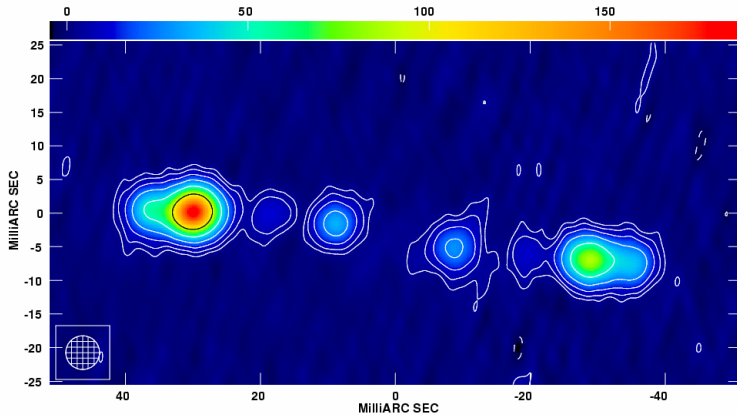


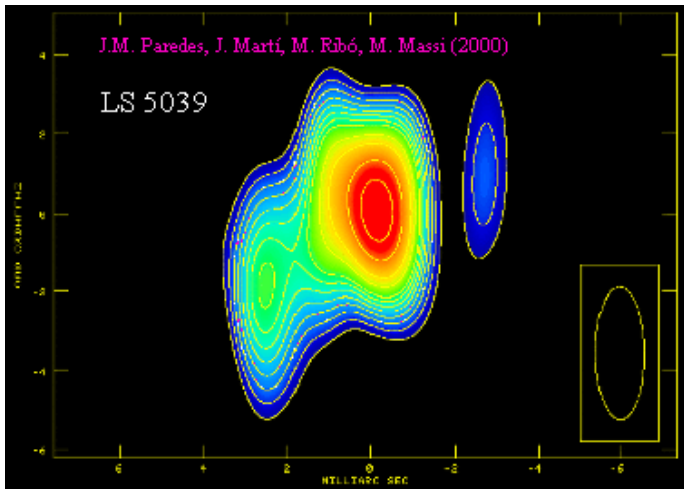


# Formación de las binarias de rayos X de gran masa

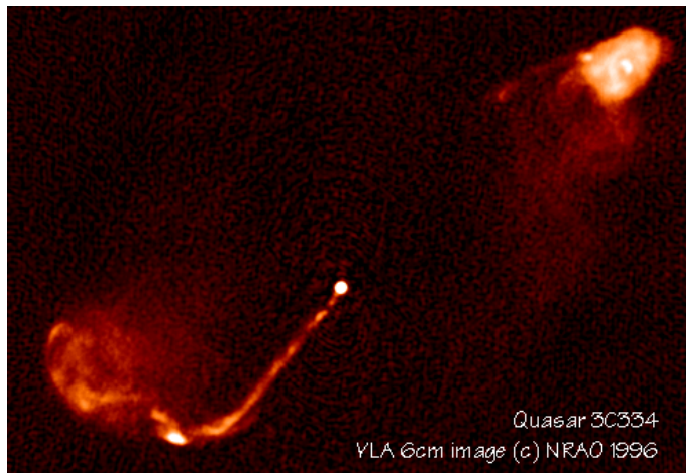


# Microcuásares (SS 433)

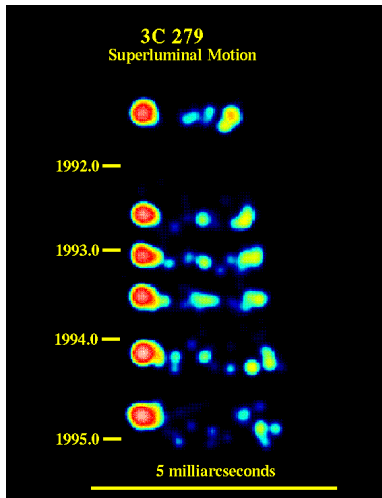
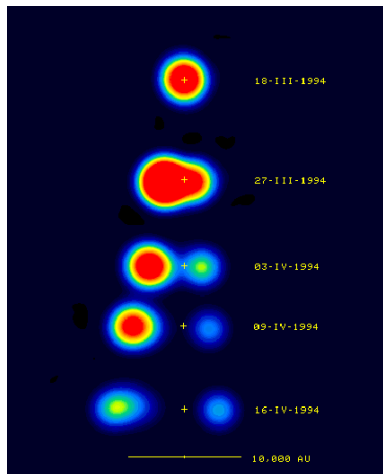




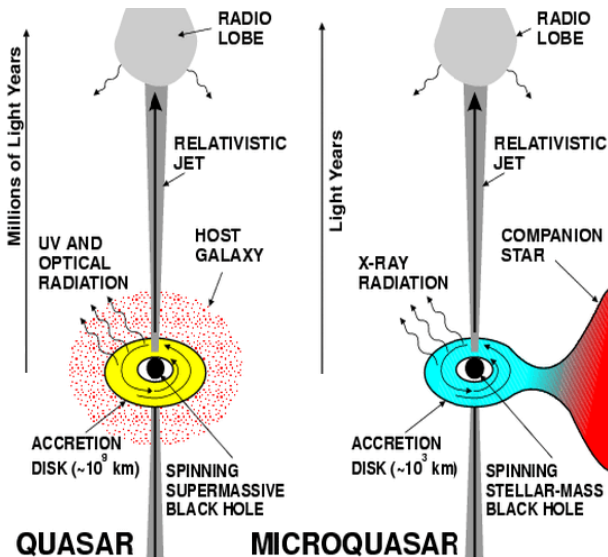
# Microcuásares



# Microcuásares



# Microcuásares



# Microcuásares

